

1. 目的

剛性地中埋設基礎では地震時にその制震効果が期待される。一方、その地下部分の壁体には動土圧が作用する。深い基礎の根入れ効果を設計に反映させるには、これらの点を明らかにする必要がある。本報告は振動台を用いた地盤・基礎系の模型振動実験により、主に次の項目について検討したものである。

① 地盤・基礎系の加速度応答の振動数による変化 ② 地下壁体に作用する動土圧と周辺地盤の変形

2. 方法

地盤・基礎系の模型の概略を図1に示す。土槽内に乾燥砂を満たして模型地盤を作成した。用いた土槽は地盤のセン断変形を拘束しない構造になつていて、振動台を加振することによって、模型地盤を密に詰めき。仕上がった模型地盤の平均的な物性は表1を示す通りである。

表1. 模型地盤の平均的物性

単位体積重量	微小ひずみの固有振動数	セン断波速度
1.5 (gf/cm³)	21 (Hz)	84 (m/s)

次に模型基礎を埋設した。基礎は厚さ15 mmのアクリル板で構成された剛性直方体である。とく見かけの単位体積重量は0.4(gf/cm³)である。主な計測項目は、地中各部の加速度、基礎上面および底面の加速度、基礎の側壁および底版の動土圧などである。

加速度振幅一定の正弦波を入力とし、その振動数をステップ状に増加させる共振実験を行つた。なお、砂の材料非線形性を考慮して、加速度振幅を変化させた場合について、各々共振実験を実施した。

3. 結果

(1) 地盤の增幅特性

基礎を入れる前と、地盤のみの振動応答を求めた。図2はその一例である。入力加速度は20 galである。2つのピークが見られ、各々、セン断一次、二次に対応するものであることが、モード図からも確認された。

(2) 基礎上面の水平加速度

基礎の応答を代表する量として、上面の応答加速度(\ddot{U}_2)に着目した。図3は \ddot{U}_2 の振動数変化を地表加速度との比で表したものである。(1)と同じ入力条件である。その比は、低振動数域では1.0に近いが、振動数の增加に伴い低下していくことが明確である。 \ddot{U}_2 は上部構造物への入力に対する量であり、その意味で埋設基礎の制震効果は期待できる。

(3) 基礎の振動

図3により、対象とする振動数範囲では、基礎は地盤より卓越して応答する二つのないことが分かった。一方、基礎は剛体であることから、地盤のセン断振動を受けて、剛体回転運動をする。ここではそれを振動と呼ぶ。

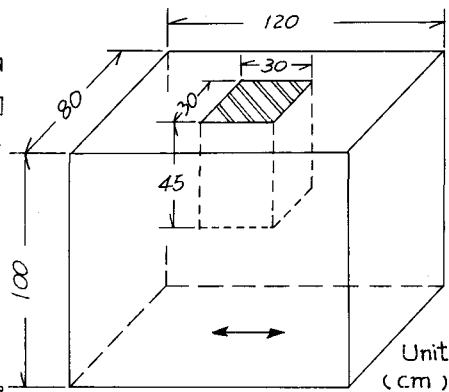


Fig. 1 Ground & Foundation Model

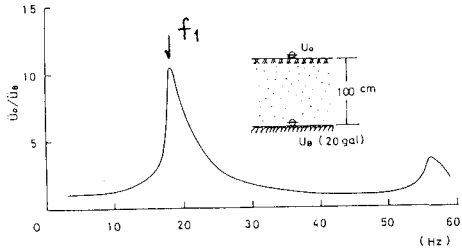


Fig. 2 Transfer Function of the Model Ground

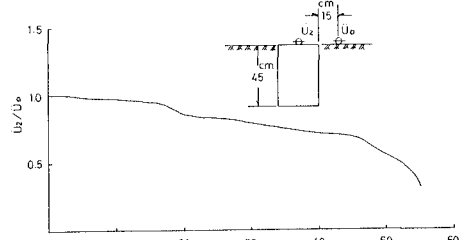


Fig. 3 Transfer Function of the Embedded Structure

そこで、基礎の上面と底面の水平加速度の差から振動の中心を求めた。図4はその一例であり、(1)と同じ入力条件である。図中、実線は振動中心の深さへの振動数変化である。また、破線は基礎底面の深さを自らのため示したものである。振動数増加に伴い振動中心が浅くなつて来る。つまり、下心振動から上心振動に変化する。図2と比較すると、地盤のセン断一次と二次の振動数の間に振動中心が基礎底面に一致する振動数 f_0 があることが分かる。

図5は振動回転角の振動数による変化を示したものである。図2と比較すると、地盤のセン断一次の時に回転角が卓越することが分かる。また、その回転方向は f_0 の境に向きを変え、かつ f_0 以上ではその絶対量が極めて小さくなることが明らかである。

(4) 基礎壁に作用する動土圧

(1), (2), (3)により、基礎の応答は地盤のセン断一次振動に強く依存するものであることが明確になった。そこで、その振動数 f_1 での動土圧分布を求めた。図6はその結果であり、動土圧の位相差を考慮し同一時刻で示してある。左右の側壁に各々3奥がつ、底版にも3奥設置した土圧計（半導体型、定格容量 500 gf/cm²）から求められた振動土圧である。図中、基礎の形状を示す柱より外側に向う量が静土圧からの増分であり、逆に内側に向う量が減分である。また、矢印はこの瞬間の基礎の振動方向を示している。

この土圧分布に関して特徴的のはことは、側壁の動土圧が深さ方向に位相反転することである。また、相対する側壁の動土圧は位相反転し、片側が押しならばもう片側は引きになつている。

図7は図6と同時に地盤・基礎の変位分布を求めたものである。両図から、地盤変位のリリース方向では土圧が減少していることが分かる。この現象は慣用の地震時受動土圧とは異なる。

(5) 動土圧の非線形性

図8は入力加速度の大きさを変えた場合に、各々セン断一次振動数で発生した動土圧を入力 1 gal 当りに基準化して示したものである。特徴的のは、入力の増大に伴つて動土圧が減少することである。つまり、動土圧応答に非線形性がある。これは、地盤変位の増大にもかかわらず、ハザードレベル依存による砂の剛性低下が著しいためと考えられる。

4. 結論

図4は地中埋設基礎の動的挙動について、実験から明らかになつた点は次の通りである。

- (1) 基礎の振動は地盤のセン断一次の時に最大となるものへ、地盤より卓越して応答することはない。
- (2) 高振動数域での基礎への上心振動は振幅が小さく、全体的に見れば、主要な応答とはほりえない。
- (3) 基礎壁に作用する動土圧は基礎と地盤の相対変位に依存し、慣用の極限土圧とはその発生機構が異なる。
- (4) 動土圧には入力加速度の大きさによる非線形性が現れ、地盤剛性的軟化が密接に関係する。

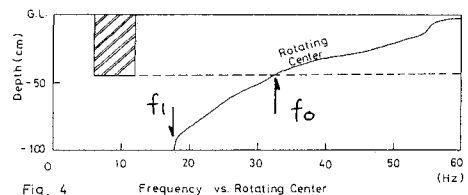


Fig. 4 Frequency vs. Rotating Center

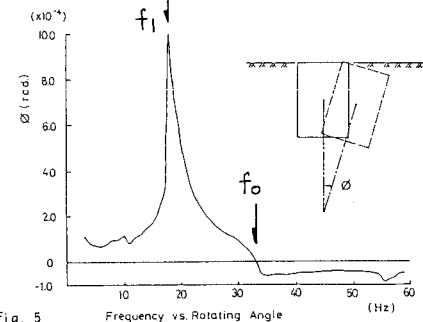
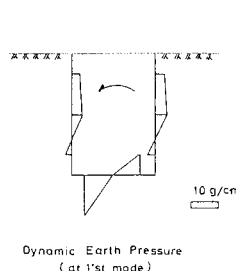
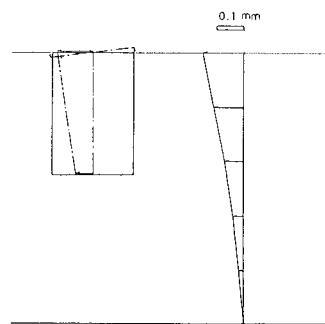


Fig. 5 Frequency vs. Rotating Angle



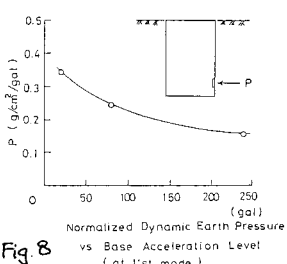
Dynamic Earth Pressure
(at 1st mode)

Fig. 6



Deformation of the Ground & the Structure
(at 1st mode)

Fig. 7



Normalized Dynamic Earth Pressure
vs. Base Acceleration Level
(at 1st mode)

Fig. 8